

大鹏湾深水网箱养殖区的污损生物研究

张汉华¹, 梁超渝¹, 吴进锋¹, 郭根喜¹, 张湛才², 贾晓平¹

(1. 中国水产科学研究院南海水产研究所, 广东 广州 510300;
2. 深圳旭联海洋生物养殖基地, 广东 深圳 518121)

摘要: 大鹏湾位于南海北部, 属半封闭海湾, 目前有各种类型网箱60多个。本试验于大鹏湾的深水抗风浪网箱养殖区投放试验挂板, 以测定污损生物的附着状况, 并利用Shannon-Wiener指数进行群落的多样性分析, 试验周期为1年。共记录污损生物53种, 月平均附着生物量为277.37 g/m², 最高在9月份; 季度平均生物量为4497.18 g/m², 最高在冬季; 垂直分布方面, 最高生物量在1~2 m水层。全年各月均有污损生物附着, 优势种是网纹藤壶, 其次是多室草苔虫、翡翠贻贝和变化短齿蛤。种类的多样性指数(H')和均匀度(J)均以春季为最高, 冬季最低; 种类丰度(d)则以秋季最高, 春季最低; 优势度(I)则以冬季最大, 春季最小。

关键词: 大鹏湾; 网箱养殖区; 污损生物; 季节变化

中图分类号:S964.7

文献标识码:A

文章编号:1005-8737-(2003)05-0414-05

污损生物通常指生长、栖息于海洋各种物体表面上的动物、植物和微生物, 它们对各种设施的附着可产生不同程度的危害作用。有关海洋污损生物的研究, 在大亚湾^[1-2]、湛江港^[3]、汕头港^[4]、海南^[5-6]和香港^[7-8]等海区均有报道, 但对大鹏湾网箱养殖区的污损生物则未见报道。大鹏湾年平均水温21.6℃, 潮汐属不正规半日混合潮, 海流平均流速为0.03~0.06 m/s, 年均波高为0.4 m, 海水盐度年变化范围为30.273~33.347, 海水溶氧平均为7.16 mg/L, 营养盐含量丰富, 海湾沉积物主要属粉砂质粘土, 水深范围在2~21 m。该海湾目前有各种类型的网箱60多个, 网箱养殖区面积约为300 hm², 离岸距离20~30 m, 污损生物以藤壶类、软体动物为主要类群, 其次是苔藓虫和藻类植物等。本研究对大鹏湾公湾附近海域的抗风浪网箱污损生物的种类组成、生物量、栖息密度、附着季节及生态变化等进行了探讨, 旨为开展深水抗风浪网箱养殖及污损生物的防除提供科学依据。

收稿日期:2002-09-16; 修订日期:2003-01-03。

基金项目:国家“十五”攻关项目(2001BA5051302);广东省重大科技兴海项目(A200099C01);广东省重点科技计划项目(A3050305)。
作者简介:张汉华(1963-),男,研究员,从事海洋生态学及增养殖技术研究工作。E-mail:zhh502@163.net

1 材料和方法

1.1 材料

挂板用白色塑料板制成, 每个面积0.0625 m²。挂板采样站位见图1。

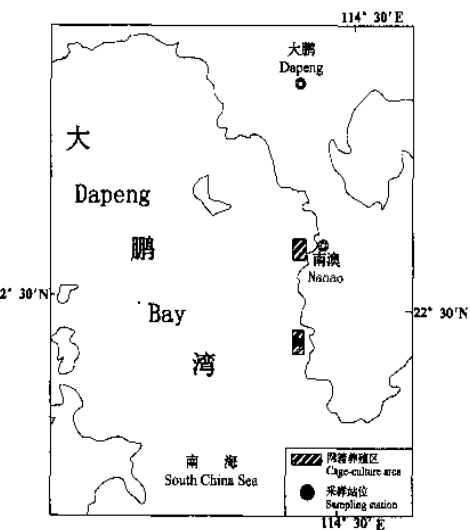


图1 大鹏湾网箱养殖区污损生物采样站位示意图

Fig. 1 Sampling station of fouling organism in cage-culture area in Dapeng Bay, South China Sea

1.2 方法

1.2.1 实验设计 在拟研究水域投放试验挂板,挂板的取换过程、样本收集、环境资料收集、室内分析等均按《海洋调查规范》^[9]进行。挂板分月板及季度板2种,吊挂深度分1 m、2 m、3 m、4 m、5 m共5个水层,不同深度挂板有3个重复,取平均值。

1.2.2 计算 根据收集的污损生物资料计算该水域污损生物的种类多样性(H')^[10]、种类丰度(D)、种类均匀度(J)和种类优势度(I)的指数值。计算方程如下:

$$H'(s) = - \sum_{i=1}^s P_i \log_2 P_i$$

$$J = H'/\log_2 s$$

$$D = (S-1)/\log_2 N$$

$$I = N_{\max}/N_t$$

式中: P_i 为第*i*种个体数量与样品中个体数的比值, s 为样品的总个体数, N_{\max} 为优势种群数量, N_t 、 N 为样品总个体数。

2 结果与分析

2.1 污损生物的种类组成

共进行了1周年的挂板试验,收取分析试板80块95号标本,经鉴定共有污损生物53种,其中藻类4种,苔藓虫4种,多毛类10种,软体动物11种,藤壶4种,其他甲壳类15种,海鞘2种,鱼类2种,其他类群1种。优势种是网纹藤壶(*Balanus reticulatus*)、多室草苔虫(*Bugula neritina*)、翡翠贻贝(*Perna viridis*)和变化短齿蛤(*Brachidontes variabilis*)等;常见种有独齿围沙蚕(*Perinereis cultrifera*)、华美盘管虫(*Hydroides elegans*)、缘齿牡蛎(*Dendostrea crenulifera*)、疣荔枝螺(*Thais clavigera*)、蝶羸蟹(*Corophium sp.*)、光辉圆扇蟹(*Sphaerozius nitidus*)、小相手蟹[*Nanosesarma (Nanosesarma) minutum*]、皱瘤海鞘(*Styela plicata*)和褐菖鲉(*Sebastiscus marmoratus*)等。

2.2 污损生物的附着季节

试验区海域全年各月均有污损生物附着,主要种类的附着季节与温盐度的关系见图2。苔藓虫类在试板上出现的主要种是多室草苔虫,主要附着季节为秋末和冬季;多毛类的独齿围沙蚕主要出现在秋季,其次春季;翡翠贻贝一年四季均有附着,但以夏季和秋季为最多;变化短齿蛤也是一年四季均有出现,且数量大,但因个体较小,生物量不高;网纹藤

壶一年四季均有大量繁殖,其附着高峰出现在夏季和秋季,是污损生物中数量和生物量最大的类群;蟹类出现最多的种是光辉圆扇蟹和小相手蟹,一年四季均有出现,但数量不大;海鞘类的附着有较为明显的季节性,主要出现在秋末和冬季;藻类出现的种类主要是绿藻类的石莼(*Ulva lactuca*)、浒苔(*Enteromorpha sp.*)和褐藻类的水云(*Ectocarpus sp.*)等,主要出现在春季,其次冬季。

2.3 污损生物的附着量

大鹏湾抗风浪网箱养殖区的污损生物每月及季度的附着量见表1和图3、4。月平均附着生物量为277.37 g/m²,变化幅度为30.5~612.08 g/m²。污损生物的月变化表现出双峰型走势,即1月份为次高峰,3月份降至最低峰,4月份开始逐渐递增,至9月份达到顶峰,然后又逐渐下降;季度平均附着生物量为4 497.18 g/m²。季节变化表现为冬季最高,秋季次之,春季最低。

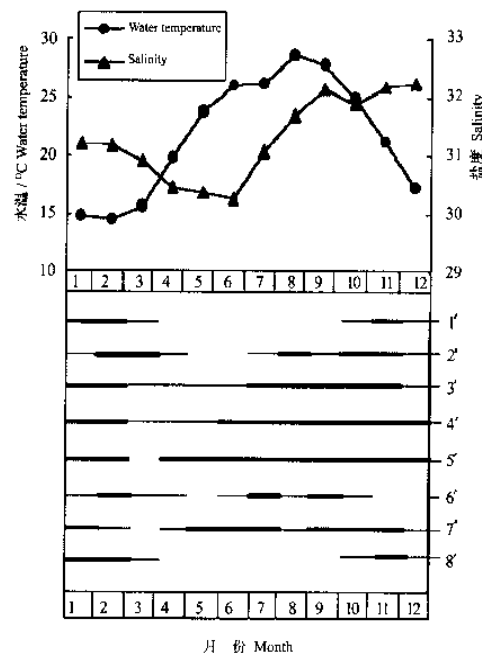


图2 大鹏湾网箱养殖区的主要污损生物附着季节

Fig. 2 Seasons of major fouling organisms attached in cage-culture area in Dapeng Bay, South China Sea
1—*Bugula neritina*, 2—*Perinereis cultrifera*, 3—*Perna viridis*,
4—*Brachidontes variabilis*, 5—*Balanus reticulatus*, 6—*Caprella scaura*,
7—*Sphaerozius nitidus*, 8—*Styela plicata*

春季的主要污损生物是藻类,其次是藤壶和软体动物;夏季的主要污损生物为藤壶,成为该季节的绝对优势种,占该季节总生物量的98.43%;秋季的

污损生物也是藤壶,其次是软体动物;冬季的主要污损生物则以苔藓虫为主,其次为藤壶和海鞘。

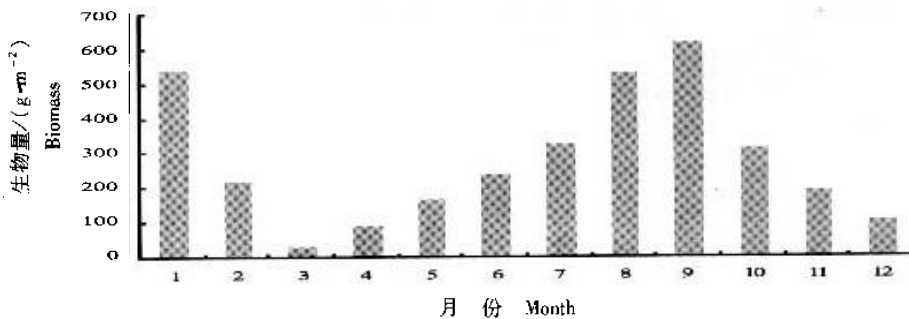


图3 大鹏湾网箱养殖区污损生物生物量的月份变化

Fig.3 Monthly biomass variation of fouling organisms in cage-culture area in Dapeng Bay, South China Sea

表1 大鹏湾深水网箱养殖区的污损生物数量及组成

Table 1 Numbers and composition of fouling organisms in cage-culture area in Dapeng Bay, South China Sea

月份或季节 Month or Season	生物种类 Species numbers	湿重 /(g·m⁻²) Wet weight	湿重百分组成/% Percentage of wet weight							
			藻类 Algae	苔藓虫 Bryozoa	多毛类 Polychaeta	软体动物 Mollusca	藤壶 Balanus	其他甲壳类 Other Crustacea	海鞘 Asciidaeae	其他 Others
1	9	538.34	1.32	20.6		15.91	56.84	1.58	3.75	
2	12	213.44	8.73	42.96	0.21	11.52	33.97	2.61		
3	7	30.50	93.33		0.33			6.34		
4	8	84.67	78.65	6.43		9.52	5.40			
5	9	164.28	51.70	4.13	0.28	7.15	35.48		1.26	
6	4	236.61	0.31				98.09	1.60		
7	7	322.09				2.09	96.03	1.88		
8	10	525.82		2.97	0.76	1.28	93.71	1.29		
9	10	612.08			0.08	12.10	87.43	0.39		
10	12	311.62		0.55	0.36	20.29	77.70	0.84	0.26	
11	12	187.52		0.37	0.27	33.42	63.61	2.33		
12	6	101.44		0.39		18.34	77.71	3.56		
春季 Spr.	13	1468.21	67.56	1.62		4.65	24.5	1.67		
夏季 Sum.	14	4348.86			0.21	1.20	98.43	0.11	0.05	
秋季 Aut.	17	4737.98		1.89	0.31	24.90	72.27	0.21	0.18	0.24
冬季 Win.	17	7433.66		47.48	0.39	2.03	43.14	0.17	6.73	0.06

2.4 污损生物的垂直分布

不同水深污损生物的附着生物量见图5。其生物量表现为随着水深的增加而生物量呈递减的趋势,1 m水深的主要污损生物为藤壶,其次为苔藓虫和藻类;2 m、3 m、4 m水深的主要污损生物也为藤壶,其次为藻类和苔藓虫;5 m水深的主要污损生物也是藤壶,其次为软体动物和苔藓虫。

2.5 种群多样性分析结果

4个季节污损生物的种群多样性指数(H')表现为:春季最高,秋季次之,冬季最小;种类均匀度(J)的表现与多样性指数一致,即为春季最大,秋季次之,冬季最小;而种类丰度(d)则表现为秋季最高,冬季次之,春季最低;优势度(I)则以冬季最大,夏季次之,春季最低。这种情况的出现与优势种的更替有重要关系。在春季,因藻类大量繁殖,而藤壶则未到繁殖季节,因藻类不计数量,使该季节多样性程

度高,且种类分布较为均匀;而到了冬季,绝对优势种藤壶的大量繁殖,使多样性指数下降明显,种类分布不均,优势度明显上升(见表2)。

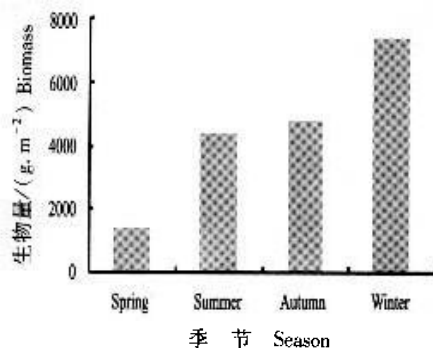


图4 污损生物生物量的季节变化

Fig. 4 Seasonal biomass variation of fouling organisms

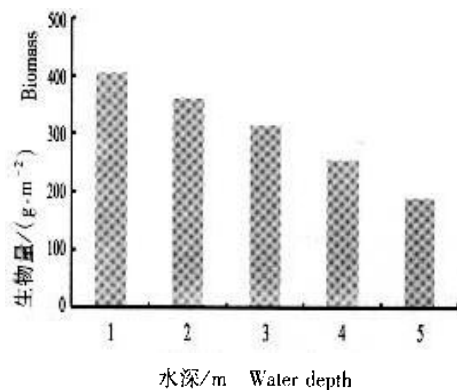


图5 不同水深污损生物附着的生物量

Fig. 5 Biomass of fouling organisms at different depth

表2 大鹏湾深水网箱养殖区的污损生物种群多样性指数的季节变化

Table 2 Seasonal variation of diversity index of fouling organisms in cage-culture area in Dapeng Bay, South China Sea

指数值 Index	春季 Spring	夏季 Summer	秋季 Autumn	冬季 Winter
H'	2.174	1.231	1.907	1.197
J	0.587	0.323	0.467	0.293
d	1.291	1.585	1.958	1.850
I	0.502	0.835	0.764	0.873

3 讨论

3.1 种群区系特征

大鹏湾网箱养殖区盐度高且稳定,潮汐为不正

规半日潮,平均潮差在1m左右。本次污损生物挂板试验结果表明,全年均有污损生物附着,绝对优势种是藤壶类的网纹藤壶,其次是苔藓虫的多室草苔虫,软体动物的翡翠贻贝和变化短齿蛤,多毛类的独齿围沙蚕、华美盘管虫,甲壳类的螺羸蟹、光辉圆扇蟹和小相手蟹等,这些均属亚热带沿岸的广布种,表现出较强的暖水性种群区系特征。

3.2 优势种类群的季节变化特点

网纹藤壶是本次试验生物量以及栖息密度最大的类群,数量占多数月份和季节的70%以上,其数量变化可直接左右整个污损生物的时空变化,该种在各挂板的附着期、覆盖面积、覆盖厚度、附着量均起决定性作用,是网箱养殖区污损生物防治的主要对象。其主要在春季大量繁殖,到了夏季和秋季生长至最高峰。苔藓虫也是本次试验污损生物的主要类群,但主要出现在冬季,其生物量占了该季节的47.5%。软体动物中主要的种类是变化短齿蛤和翡翠贻贝,虽然其个体较小,生物量不算高,一般占各月份的10%~30%,但数量较大,栖息密度也较高。藻类也是污损生物的主要类群,主要在春季大量繁殖和生长,占了春季总生物量的67.6%,到了夏季则由于水温的升高而抑制了其生长,因此藻类在夏、秋季几乎没有出现。

3.3 与其他海区污损生物的比较

与汕头港^[2]、湛江港^[3]海域比较(表3),大鹏湾污损生物月挂板平均生物量比湛江港和汕头港低,季度挂板也比湛江港低,但高于汕头港;大亚湾^[1]和海南八所港^[4]海域为非挂板调查,污损生物的附着量均较高。主要污损生物的种类组成除汕头港出现一些咸淡水的广布种外,与各其他海区较为相似,均主要为亚热带-热带的沿岸广布种。

参考文献:

- [1] 郑东强,黄宗国,李传燕,等. 大亚湾养殖浮筏和浮球的污损生物[A]. 大亚湾海洋生态文集(I)[C]. 北京:海洋出版社, 1989. 179~185.
- [2] 郑东强,黄宗国. 大亚湾海水养殖箱、笼上附着的污损生物[J]. 水产学报,1990,14(1):15~23.
- [3] 严 岩,严文侠,董 钰. 湛江港污损生物挂板试验[J]. 热带海洋,1995,14(3):81~85.
- [4] 李传燕,黄宗国,郑成兴,等. 汕头港污损生物生态研究[J]. 台湾海峡,1996,15(1):19~24.
- [5] 严 岩,严文侠,董 钰,等. 海南八所港污损生物群落研究[A]. 热带海洋研究(五)[C]. 北京:科学出版社,1997.38~43.

表3 大鹏湾网箱养殖区与其他海区污损生物的比较

Table 3 Comparison of fouling organisms between Dapeng Bay cage-culture area and other sea areas g/m²

海区 Waters	月挂板平均 生物量 Biomass on month- ly test panels	季度挂板平均 生物量 Biomass on season- al test panels	非挂板附着生物量 Biomass of fouling organ- isms on other attachments	主要污损生物 Major fouling organisms
湛江港 ^[3] Zhanjiang Harbor	1277.2	9999.6		浒苔、网纹藤壶、异形琥珀苔虫、多室草苔虫、孔苔虫、水螅、翡翠贻贝等。
汕头港 ^[2] Shantou Harbor	1338.6	3219.38		泥藤壶、僧帽牡蛎、近江牡蛎、海葵、网纹藤壶、翡翠贻贝、厦门膜孔苔虫等。
大亚湾 ^[1] Daya Bay			1873.8 ~ 11673.3 (养殖浮筏和浮球 Culture rafts and floats)	海绵、总合草苔虫、孔苔虫、放射牡蛎、缘齿牡 蛎、翡翠贻贝、网纹藤壶、海鞘等
海南八所港 ^[4] Baisho Harbor of Hainan			4638.6 ~ 17787.9 (码头 Deck)	网纹藤壶、牡蛎、苔藓虫、管栖多毛类
大鹏湾 Dapeng Bay	277.37	4497.18		网纹藤壶、多室草苔虫、变化短齿蛤、独齿圆沙 虫、水云、翡翠贻贝、光辉圆扇蟹、皱瘤海鞘

- [6] 王华接,严文侠,严 岩,等.海口市海甸岛排污口海区污损生物的研究[A].热带海洋研究(五)[C].北京:科学出版社,1997. 31~36.
- [7] Huang Z G, Mark P M S. Study on biofouling in Tolo Harbour [A]. The marine flora and fauna of Hongkong and Southern China[C]. Hongkong: The Proceeding of the First International Marine Biological Workshop, 1980. 267~278.
- [8] Mark P M S. Biofouling of mariculture cage in Hongkong[D]. Hongkong: University of Hongkong, 1982. 1~177.
- [9] 国家技术监督局.海洋调查规范[M].北京:中国标准出版社,1992. 29~32.
- [10] Wilhm J L. Use of biomass units in Shannon's formula[J]. Ecology, 1968, 49(1): 153~156.

Fouling organism in marine cage culture area in Dapeng Bay, South China Sea

ZHANG Han-hua¹, LIANG Chao-yu¹, WU Jin-feng¹, GUO Gen-xi¹, ZHANG Zhan-cai², JIA Xiao-ping¹

(1. South China Sea Fisheries Research Institute, Chinese Academy of Fishery Sciences, Guangzhou 510300, China;

2. Shenzhen Xulian Sea-Life Plant Base, Shenzhen 518121, China)

Abstract: Dapeng Bay, located in South China Sea, is a semi-close bay with more than 60 cages covering nearly 300 hm². In order to examine the settlement and status of fouling organism, the exposed test panels, with the area of 0.0625 m² for each, were laid down in the cage water area of Dapeng Bay for a 12 months period experiment. Shannon-Wiener index was used to analyze the species diversity. The panels were set at the depths of 1 m, 2 m, 3 m and 4 m. During the experiment period, a total number of 53 species of fouling organisms were recorded. The monthly average biomass of fouling organism was 277.37 g/m², and the highest amount appeared in September. The seasonal average biomass was 4497.18 g/m², and the highest amount appeared in winter. The highest biomass appeared in the water depth of 1~2 m in terms of vertical distribution. The attachment of fouling organism occurred throughout the year, and the first dominant species was *Balanus reticulatus*, followed by *Bugula neritina*, *Perna viridis* and *Brachidontes variabilis*. The diversity index (*H'*) and evenness (*J*) for each species was the highest in spring and lowest in winter. The highest and the lowest dominancy (*I*) were recorded separately in winter and spring.

Key words: Dapeng Bay; cage culture area; fouling organisms; seasonal variation